

Komisia slovenskej rady ČSVTS pre ocelové konštrukcie
Komisia českej rady ČSVTS pre ocelové konštrukcie
Komisia krajskej rady ČSVTS pre ocelové konštrukcie Košice
Východoslovenské ťažiarne, n.p. Košice
Dom techniky ČSVTS Košice

Z BORNÍK PREDNÁŠOK
z konferencie
"HOSPODÁRNE POUŽITIE OCELOVÝCH KONŠTRUKCIÍ V STAVEBNÍCTVE
A PRIEMYSLÉ"

- I. téma "Konceptia a architektúra"
- II. téma "Technické problémy"

Košice, 1985

$$h_s = \frac{f_s(s)}{F_s(s)} - \text{ПРИЧЕМ СИМВОЛЫ} \\ \text{H}_s \text{ И F}_s \text{ ОБОЗНАЧАЮТСЯ} \\ \text{ВАРИАНТЫ} \\ h_r = \frac{f_r(r)}{F_r(r)} - \text{ПРИЧЕМ СИМВОЛЫ} \\ \text{H}_r \text{ И F}_r \text{ ОБОЗНАЧАЮТСЯ}$$

$f(\cdot), F(\cdot)$ - соответственно функции плотности и функция
распределения для элементов конструкции, например S и специ-
ально для других элементов R .

Использование:

- [1] Fung Y.C., Fundations of Solid Mechanics, Prentice-Hall, Englewood Cliffs, New Jersey 1965.
- [2] Burros R.H., Probability of Failure of Building from Fire. Journal of Structural Division, ASCE, Vol. 101, No. ST9, 1975.
- [3] Murzewski J., Bezpieczeństwo konstrukcji i probabilistyczna statyka, Rozdział z pracy zbiorowej "Stochastyczna mechanika konstrukcji", Ossolineum PAN 1973.
- [4] Murzewski J., Sowa A., Domaraski T., Probabilistyczne koncepcje obliczeń odporności ogniowej konstrukcji. XXX Konf. Nauk. KULiW PAN, KN PZITB-Krynica 1984.

Károly Jármai

Hungary

OPTIMAL DESIGN OF THE MAIN TRUSSES OF BELT-CONVEYOR BRIDGES BY MICROCOMPUTER

Design of many types of structural engineering projects involves the selection or the design of components from a discrete set of available fabricated components. The design of a steel bridge using rolled or square hollow sections is a typical example. This paper describes an optimization algorithm, applicable for automated structural design, which utilizes explicitly the discrete nature of the problem.

The most frequently encountered problem is the mass minimization of bar structures with respect to their stiffness distribution.

In the problems the geometry of truss is assumed to be specified and loads are applied only at the joints. The cost function for the problem is taken as the total cost of the truss.

$$K(A_i) = \sum_{i=1}^n k_i L_i A_i \quad (1)$$

Where k_i the material cost per unit volume,
 L_i member length,
 A_i cross-sectional area
of the i th member.

Stress constraints are as follows:

$$|N_i| / A_i \leq R_{ui} \quad (2)$$

Where R_{ui} are the ultimate (allowable) stresses for compressed bars which depend on the slenderness ratio.

Displacement constraints in this case have the form

$$\frac{\sum_{i=1}^n N_i L_i}{A_i E_i} \leq w^* \quad (3)$$

where N_i and L_i are internal forces in the i th member due to applied load and virtual load, respectively. Size constraints are

$$A_i \geq A_{i\min} \quad (4)$$

when the stress constraints are considered only, in statically determinate structures, the minimum cost may be

achieved by the fully stressed design.
Stress analysis by finite elements

Considering the various constraints the displacement method of structural analysis can be used [1], so nodal displacements of the truss are considered as state variables. Fig. 1 shows a simple scheme of designating joints, members. The nodal displacements of a truss element are determined and the member stresses are calculated from these displacements.

The optimality-criteria method [2]

In this case the optimality-criteria method is very useful, since only few iteration steps are needed.

The optimality criteriae are as follows:

$$k_i L_i + \sum_{j=1}^p \lambda_j \frac{\partial \varepsilon_i}{\partial \lambda_j} = 0; \quad \lambda_j \geq 0; \quad \lambda_j \varepsilon_i = 0$$

where the constraints are $\varepsilon_j(A_i) \leq 0$, $j = 1, \dots, p$.

λ_j are the Lagrange multipliers,

For a single displacement constraint the following expressions are valid for the determination of the cross-sectional areas:

$$A_k = \sqrt{\frac{N_1 \varepsilon_1}{N_2 \varepsilon_2}} \sum_{i=1}^2 L_i \sqrt{N_1 N_2} \quad (5)$$

The members can be active ($i \in \mathcal{E}_A$) passive (the member sizes have no effect on the structure displacement). Considering passive members as well, (5) is modified as follows:

$$A_k = \frac{\sqrt{\sum_{i \in \mathcal{E}_A} L_i \varepsilon_i}}{\sum_{i \in \mathcal{E}_P} L_i \varepsilon_i} \quad (6)$$

Numerical example of a planar truss with parallel chords shown in Fig. 1. The intensity of a uniformly distributed reloaded load is $p=25 \text{ kN/m}$, in which the dead weight of approximately 1 kN/m is being included. For deflection calculation the load intensity is $p=20 \text{ kN/m}$. The truss is constructed from bars of square hollow cross-section made of steel 37. Limiting tensile stress for chord members is $R_u = 190 \text{ MPa}$; for other truss members is $R_u = 165 \text{ MPa}$.

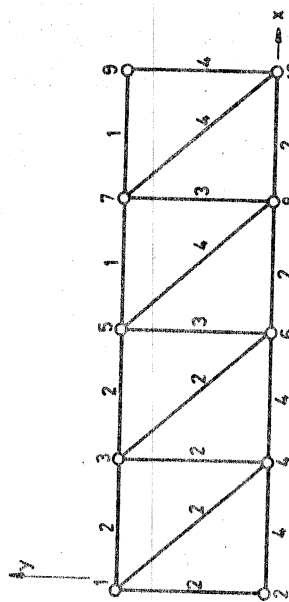
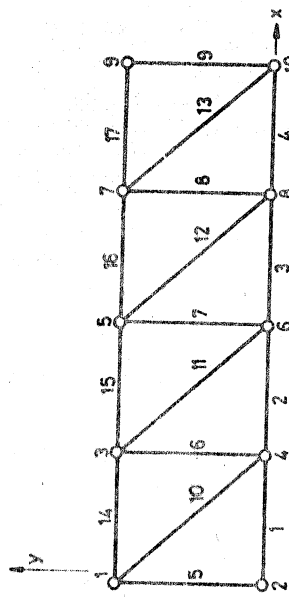


Fig. 1

We have considered only the stress constraints in the first part of the calculation. The computer program determined the "fully stressed design" solutions which were obtained for structures of different heights. $h = 1,25$, a gives the minimum volume.

The members are divided into 4 groups according to the numbering shown in Fig. 1. The profiles have been sub-optimized with regard to buckling of different barlengths and forces according to [3]. The suboptimization was carried out by means of the backtrack method.

Let the allowable deflection be $w^* = 24 \text{ mm}$. Considering this displacement constraint the optimum results are as follows.

Type of bar	1	2	3	4
Number of active bar	17	15	7	2
Profile dimensions (mm)	210.7	180.5	120.2	160.3
Length (mm)	5850	3600	1440	1920
Half volume $V/2 = 1,94418 \cdot 10^2 \text{ mm}^3$				
Results without displacement limit are as follows:				
Type of bar	1	2	3	4
Number of active bar	17	15	7	2
Profile dimensions (mm)	150.5	150.4	120.3	140.2
Length (mm)	3000	2400	1440	1120
Half volume $V/2 = 1,1822 \cdot 10^2 \text{ mm}^3$				
In this case the displacement is 37,7 mm.				
A computer program was run on Commodore 64 microcomputer in BASIC language.				

References

- [1] Harrison H.B.: Structural Analysis and Design. Pergamon Press. 1980.
- [2] Rizzi P.: The optimization of structures with complex constraints via a general optimality criterion method. Ph. D. Thesis, Stanford Univ., California.
- [3] J. Parkes: Optimum Design of Metal Structures. Akadémiai Kiadó, Budapest, and Ellis Horwood Limited, Publisher, Chichester 1984.

PROBABILISTIC COMPUTING METHODS FOR DESIGNING STEEL-STRENGTH CONSTRUCTION
KEY WORDS: BEISPIEL EINER GEWISSEN SKELLETT-STAHLKONSTRUKTION

Die bisher verbindliche Norm /2/ ist auf der Methode stochastischen Verhaltens berücksichtigt das abweichungen in Bezug auf den erhöhten Wert. Sie führt für diese Werte einen bestimmten Vorsichtsfaktor ein. Die Grundlage für die Methode der Grenzzustände bildet die Gleichheit der Rand-Verteilungen /summen/ funktionen für die Belastung und Festigkeit. Es bedeutet dies dass sowohl die Werte der Berechnungsbelastungen mit derselben Vorsichtsfaktor bestimmt sind. In Übereinstimmung mit der Konzeption der Theorie über die stochastiche Tragfähigkeit der Stahlkonstruktion wird angenommen, dass die Streckengrenze R den stochastischen Parameter - welcher die Konstruktion kennzeichnet - bildet. Sein Wert wird in Bezug auf die stochastiche Veränderlichkeit der Konstruktion und die Funktionierung des Skalaeffektes korrigiert. Solche Behandlung des Problems ist mehr richtig als die Behandlung in Anlehnung an die Grenzzustände-Methode. Der Vergleich beider Methoden wurde anhand eines Berechnungsbeispiels der Skellektkonstruktion durchgeführt.

2. Beschreibung der Konstruktion

Das Tragsystem bildet ein mit einem Schiff versehener Rahmen mit Giebeldach. Es ist aus Stahl 18G-2A ausgeführt. Der Abstand der gründlegenden Tragelemente beträgt je 12 m. Es wurde die Analysis des ebenen Systems /zweigelenkig gestützter Rahmenrahmen mit der Zugzitate/ durchgeführt. Als ergebnisätzliches Bewertungskriterium wurde der Stahlverbrauch angenommen. Es wurde dabei die Masse eines Rahmens in Abhängigkeit von dem Zugstangequerschnitt /P₆/ analysiert. Die Analyseergebnisse für den Zugstangequerschnitt $P_{6C} = 0; 10; 20; 30; 40; 45; 50; 60; 70; 80; / \text{cm}^2$ wurden zusammengestellt. Es wurde dann die optimale Variante gewählt. Für die optimale Variante wurden die probabilistischen Berechnungen der Konstruktionstragfähigkeit durchgeführt.